

EL NIÑO/OSCILACIÓN DEL SUR (ENSO, por sus siglas en inglés) DISCUSIÓN DIAGNÓSTICA

emitida por el

CENTRO DE PREDICCIONES CLIMÁTICAS/NCEP/NWS
y el Instituto Internacional de Investigación para el Clima y la Sociedad
Traducción cortesía del: NWS-WFO SAN JUAN, PUERTO RICO
9 de enero de 2020

Estatus del Sistema de alerta del ENSO: No Activo

Sinopsis: ENSO-neutral es favorecido durante la primavera del hemisferio norte 2020 (~60% de probabilidad), continuando hasta el verano del 2020 (~50% de probabilidad).

Durante el mes de diciembre de 2019, las temperaturas de la superficie del mar (SSTs, por sus siglas en inglés) cerca a por encima del promedio fueron evidentes sobre el Océano Pacífico ecuatorial (Fig. 1). La mayoría de los índices SSTs aumentaron en la última semana, con las regiones este del Niño-1+2 y Niño-3 permaneciendo cerca del promedio (+0.1°C to +0.3°C), mientras que las regiones del Niño-4 y Niño-3.4 estuvieron más cálidas con +1.2°C y +0.7°C, respectivamente (Fig. 2). El reciente aumento en las anomalías de SSTs fue impulsado en parte por una combinación de anomalías de vientos del oeste en los niveles bajos de la atmósfera y el crecimiento de anomalías positivas de la temperatura subsuperficial ecuatorial (promediados a través de 180°-100°W; Fig. 3). Este último indica una onda Kelvin descendiente, la cual fue evidente en temperaturas por encima del promedio en el Océano Pacífico central y este-central (Fig. 4). Durante el mes, las anomalías de los vientos del oeste persistieron en pequeñas regiones del Océano Pacífico ecuatorial occidental y oriental, mientras que los vientos en los niveles altos de la atmósfera estuvieron cerca del promedio en la mayor parte del ecuador. La convección tropical permaneció suprimida sobre Indonesia y al este de la Línea de Cambio de Fecha, y aumento al oeste de la Línea de Cambio de Fecha (Fig. 5). En general, el sistema oceánico y atmosférico fue consistente con condiciones de ENSO-neutral, aunque las observaciones recientes reflejaron una tendencia hacia condiciones más cálidas que serán monitoreadas.

La mayoría de los modelos en el IRI/CPC (Fig. 6) continúan favoreciendo principalmente condiciones de ENSO-neutral (índice Niño-3.4 entre -0.5°C y +0.5°C) durante el verano del hemisferio norte. Para la temporada de diciembre 2019 a febrero 2020, se pronostica que el índice del Niño-3.4 estará cerca de +0.5°C, lo que es consistente con las últimas observaciones. Los pronosticadores también favorecen que temperaturas oceánicas por encima del promedio continúen en el próximo mes o dos, pero, en acuerdo con la mayoría de las guías de los modelos, no prevén una continuación durante varias estaciones consecutivas o cambios en la circulación atmosférica que indiquen El Niño. En resumen, se favorecen condiciones neutrales del ENSO durante la primavera del 2020 del hemisferio norte (60% de probabilidad), continuando hasta el verano 2020 (~50% de probabilidad; oprimir [Consenso del Pronóstico de CPC/IRI](#) para la probabilidad de cada resultado en periodos de 3-meses).

Esta discusión es un esfuerzo consolidado de la Administración Nacional Oceánica y Atmosférica (NOAA por sus siglas en inglés), el Servicio Nacional de Meteorología de NOAA y sus instituciones afiliadas. Las condiciones oceánicas y atmosféricas son actualizadas semanalmente en la página de Internet del Centro de Predicciones Climáticas ([Condiciones actuales de El Niño/La Niña y La Discusión de Expertos](#)). Los pronósticos son actualizados mensualmente en la sección [Foro de Pronóstico](#) del Boletín de Diagnóstico Climático del Centro de Predicciones Climáticas (CPC, por sus siglas en inglés). Perspectivas y análisis adicionales están disponibles en el [blog del ENSO](#). La próxima Discusión Diagnóstica del ENSO está programada para el 13 de febrero de 2020. Para recibir una notificación por e-mail al momento en que la Discusión Diagnóstica del ENSO mensual esté disponible, favor enviar un mensaje a: ncep.list.ens-update@noaa.gov.

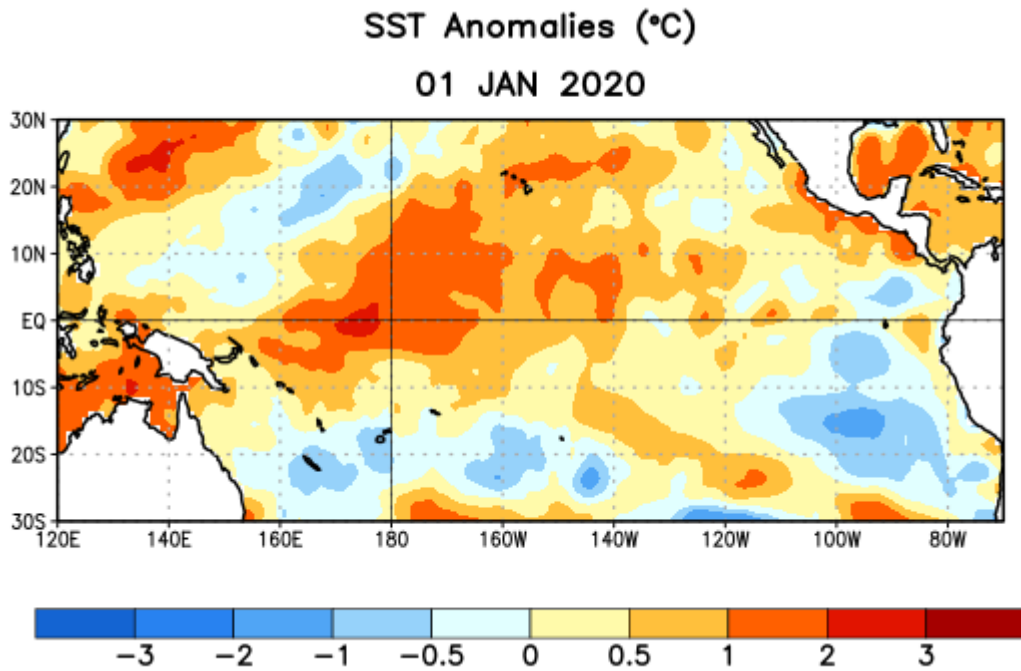


Figura 1. Anomalías (°C) promedio de la temperatura de la superficie del océano (SST, por sus siglas en inglés) para la semana centrada el 1 de enero de 2020. Las anomalías son calculadas utilizando como referencia los periodos promedio semanales de 1981-2010.

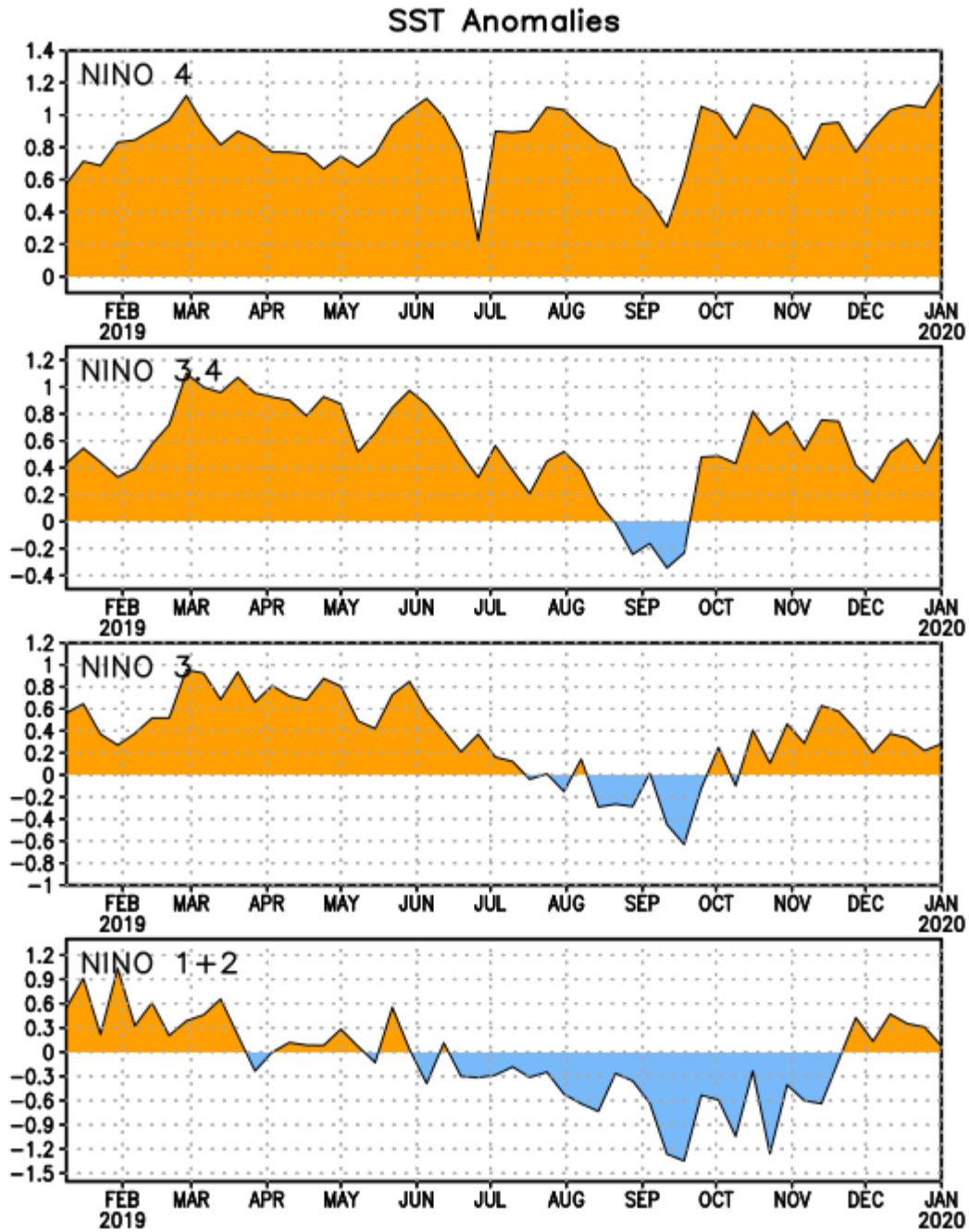


Figura 2. Series de Tiempo de las anomalías (en °C) de temperaturas de la superficie del océano (SST) en un área promediada en las regiones de El Niño [Niño-1+2 (0°-10°S, 90°W-80°W), Niño 3 (5°N-5°S, 150°W-90°W), Niño-3.4 (5°N-5°S, 170°W-120°W), Niño-4 (150°W-160°E y 5°N-5°S)]. Las anomalías de SST son variaciones de los promedios semanales del período base de 1981-2010.

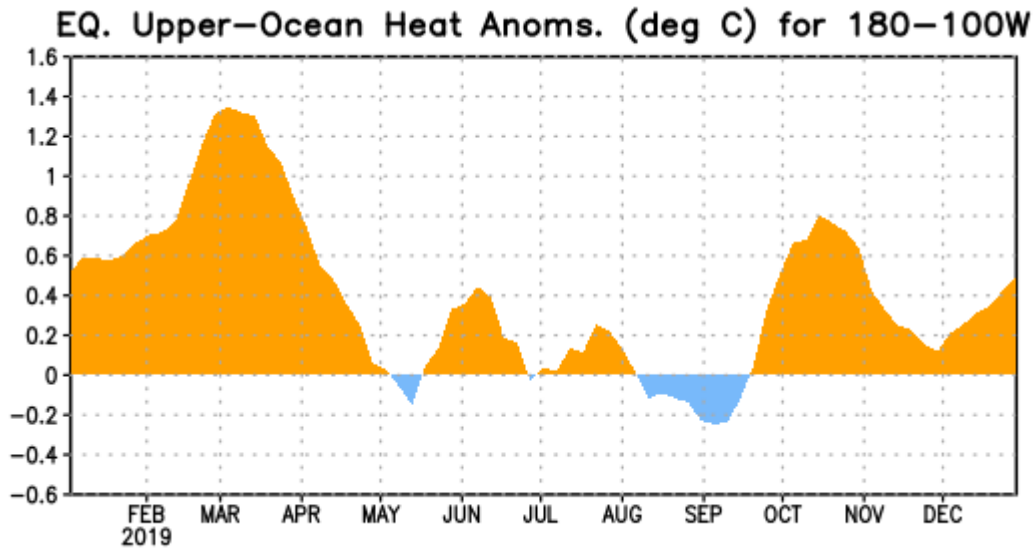


Figura 3. Anomalías del contenido calórico (en °C) en un área promediada del Pacífico ecuatorial (5°N-5°S, 180°-100°W). Las anomalías en el contenido calórico son calculadas como las desviaciones de los penta-promedios del período base de 1981-2010.

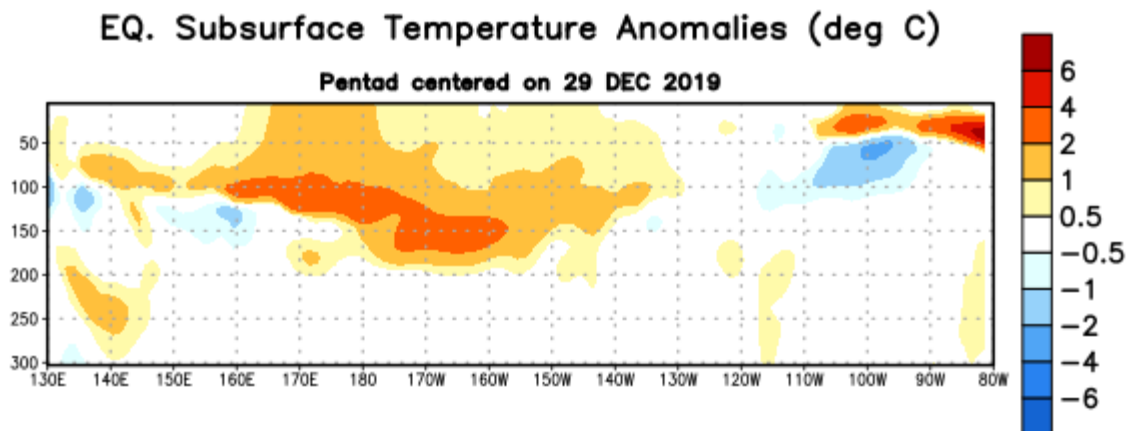


Figura 4: Anomalías de la temperatura (en °C) en un transecto de profundidad-longitudinal (0-300m) en la parte superior del Océano Pacífico ecuatorial, centradas en la semana del 29 de diciembre de 2019. Las anomalías son variaciones a partir de los penta-promedios durante el periodo base de 1981-2010.

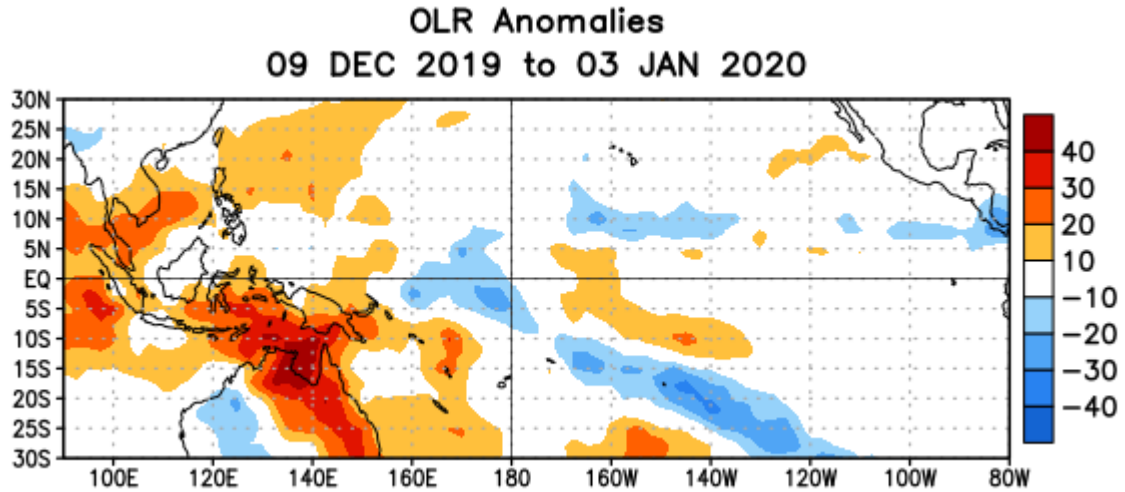


Figura 5. Anomalías del promedio de la radiación de onda larga emitida (OLR, por sus siglas en inglés) (W/m^2) durante el período del 9 de diciembre – 3 de enero de 2020. Las anomalías de OLR se calculan como desviaciones de los penta-promedios del período base de 1981-2010.

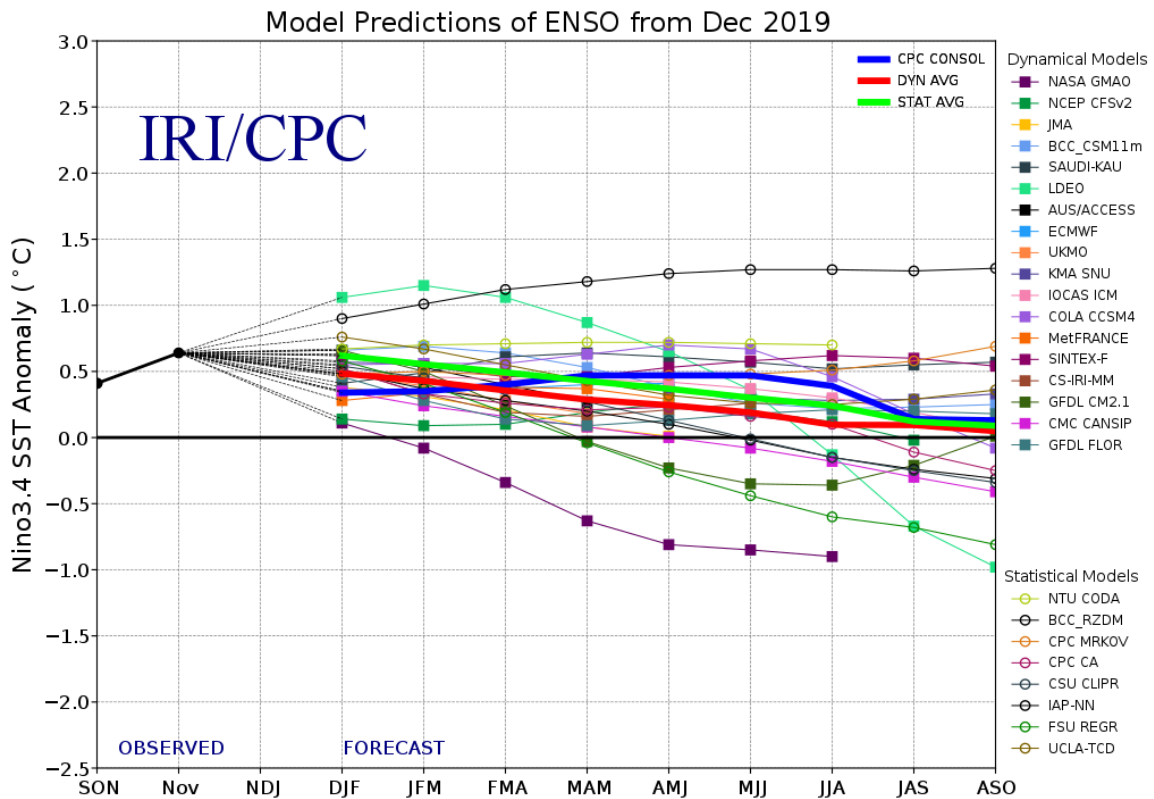


Figura 6. Pronósticos de las anomalías de la temperatura de la superficie del océano (SST) en la región de El Niño 3.4 ($5^{\circ}N-5^{\circ}S$, $120^{\circ}W-170^{\circ}W$). Figura actualizada el 19 de diciembre de 2019.